

# **Моделирование кинетической неустойчивости теплого электронного пучка малой плотности в плазме методом частиц в ячейках**

**Месяц Е.А., Снытников А.В., Лотов К.В.**

XVI Всероссийская конференция-школа молодых  
исследователей "Современные проблемы математического  
моделирования"

2015

# Пучковая неустойчивость

кинетическое уравнение Власова

$$\frac{\partial f_{i,e}}{\partial t} + \vec{v} \frac{\partial f_{i,e}}{\partial \vec{r}} + \vec{F} \frac{\partial f_{i,e}}{\partial \vec{v}} = 0, \quad \vec{F}_{i,e} = q_{i,e} \left( \vec{E} + \frac{1}{c} [\vec{v}, \vec{B}] \right),$$

уравнения Максвелла

$$\frac{\partial \vec{E}}{\partial t} = \text{rot } \vec{B} - \vec{j},$$

$$\frac{\partial \vec{B}}{\partial t} = -\text{rot } \vec{E},$$

$$\text{div } \vec{E} = \rho,$$

$$\text{div } \vec{B} = 0.$$

$$\vec{j} = \sum q_{i,e} \int f_{i,e} \vec{v} d\vec{v},$$

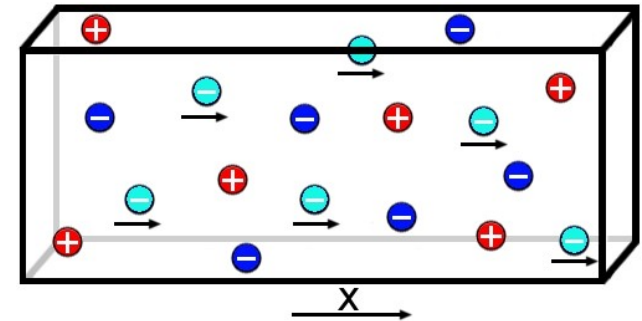
$$\rho = \sum q_{i,e} \int f_{i,e} d\vec{v},$$

$$g_x(0) = g_x(L_x), \quad g_y = g(L_y), \quad g_z = g(L_z)$$

$$(E_x, E_y, E_z), \quad (B_x, B_y, B_z), \quad (j_x, j_y, j_z),$$

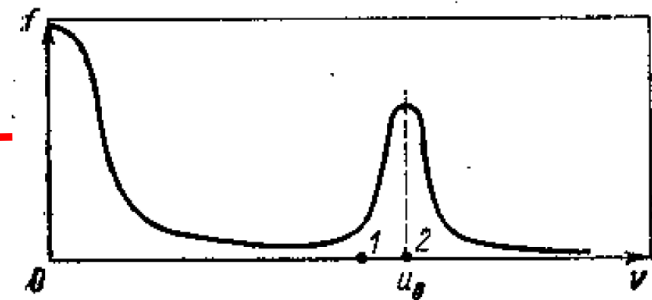
$$(\rho_x, \rho_y, \rho_z), f$$

$$W \sim e^{2\gamma t}, \quad \gamma = \frac{1}{2} \frac{\partial \ln W}{\partial t}$$



Функция распределения электронов по скоростям для системы плазма-пучок

$$f(v) = \frac{1}{\Delta v \sqrt{2\pi}} \exp - \frac{(v - v_0)^2}{2\Delta v^2}$$



$$v [c], \quad t [1/\omega_p], \quad r [c/\omega_p]$$

$$n [m_e \omega_p^2 / 4\pi e^2]$$

$$B, E [m_e c \omega_p / e]$$

$$j [m_e c \omega_p^2 / 4\pi e]$$

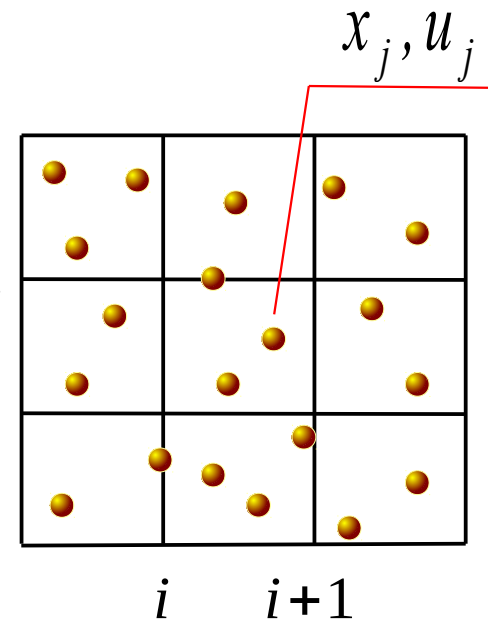
скорость света  $c = 3 \times 10^{10}$  см/с,  
плотность плазмы  $n_0 = 10^{14}$  см<sup>-3</sup>,  
плазменная электронная частота

$$\omega_p = 5.6 \times 10^{11} \text{ сек}^{-1}, \quad \omega_p = \sqrt{\frac{4\pi n_0 e^2}{m_e}}$$

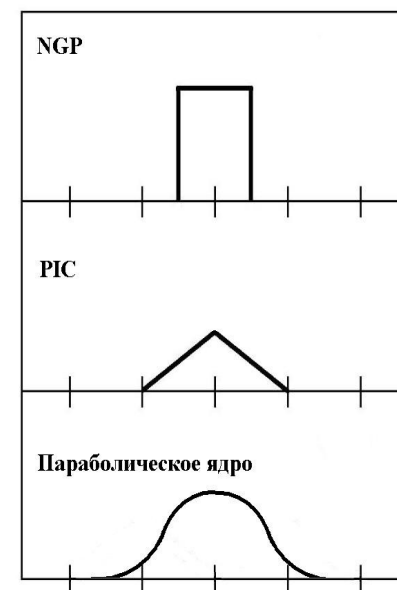
# Метод частиц в ячейках



$$n_i = \sum R(x_j, x_i) \quad k+1$$



$$F(x_j^k) = \sum F_i S(x_i, x_j)$$

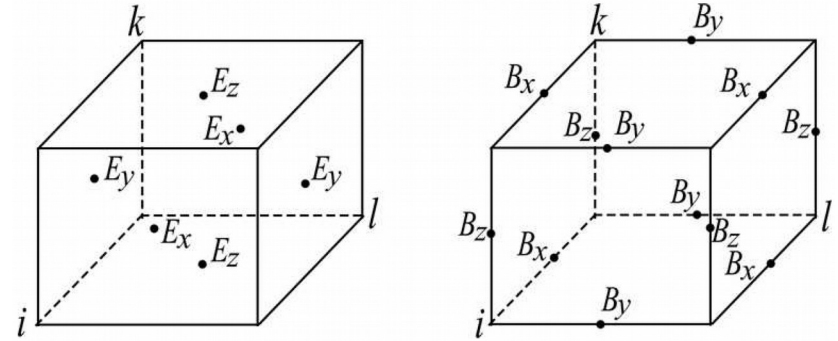


# Эйлеров этап: вычисление полей

Схема Ленгдона-Лазинского

$$\frac{B^{m+1/2} - B^{m-1/2}}{\tau} = -\text{rot}_h E^m$$

$$\frac{E^{m+1} - E^m}{\tau} = \text{rot}_h B^{m+1/2} - j^{m+1/2}$$



$$\rho = \sum q_p v_p^{m+1/2} \bar{R}(x_p, x_i)$$

$$\frac{\rho^{m+1} - \rho^m}{\tau} + \text{div}_h j^{m+1/2} = 0$$

$$\text{div}_h B = \frac{B_{x,i+1/2,k,l} - B_{x,i-1/2,k,l}}{h_x} + \frac{B_{y,i,k+1/2,l} - B_{y,i,k-1/2,l}}{h_y} + \frac{B_{z,i,k,l+1/2} - B_{z,i,k,l-1/2}}{h_z}$$

$$\text{rot}_h B = \left( \begin{array}{c} \frac{B_{z,i,k,l-1/2} - B_{z,i,k-1,l-1/2}}{h_y} - \frac{B_{y,i,k-1/2,l} - B_{y,i,k-1,l-1}}{h_z} \\ \frac{B_{x,i-1/2,k,l} - B_{x,i-1/2,k,l-1}}{h_z} - \frac{B_{z,i,k,l-1/2} - B_{z,i-1,k,l-1/2}}{h_x} \\ \frac{B_{y,i,k-1/2,l} - B_{y,i-1/2,k,l}}{h_x} - \frac{B_{x,i-1/2,k,l} - B_{x,i-1/2,k-1,l}}{h_x} \end{array} \right)$$

PIC-ядро

$$R(x) = \begin{cases} \frac{1}{h} \left( 1 - \frac{|x|}{h} \right)^2 & |x| \leq h \\ 0 & |x| > h \end{cases}$$

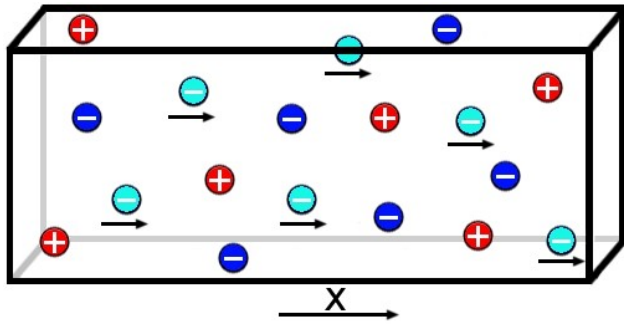
# Лагранжев этап: движение частиц

В методе частиц в ячейках среда разбивается на модельные частицы, траекториями движения которых являются характеристики кинетического уравнения Власова

$$\begin{aligned}\frac{\partial p_{i,e}}{\partial t} &= \kappa (E + [v, B]), \\ \frac{\partial r_{i,e}}{\partial t} &= v_{i,e}.\end{aligned}$$

$$p_{i,e} = \frac{v_{i,e}}{\sqrt{1 - v_{i,e}^2}}, \quad \kappa_e = -1, \quad \kappa_i = m_e/m_i.$$

# Основные параметры



$$x \in [0, L], \quad y, z \in [0, nh_x]$$

$$k = 2\pi/L \quad \longrightarrow \quad W \sim e^{2\gamma t}, \quad \gamma = \frac{1}{2} \frac{\partial \ln W}{\partial t}$$

$$f(v) = \frac{1}{\Delta v \sqrt{2\pi}} \exp\left[-\frac{(v-v_0)^2}{2\Delta v^2}\right]$$

$n_b$  – плотность пучка  
 $2(\Delta v)^2$  – температура пучка

Гидродинамический режим ( $k \Delta v \ll \gamma$ )

Переходный режим

Кинетический режим ( $k \Delta v \gg \gamma$ )

$$n_b = 2 \cdot 10^{-3}, \quad \Delta v = 0.035$$

$$n_b = 10^{-3}, \quad \Delta v = 0.14$$

$$n_b = 2 \cdot 10^{-4}, \quad \Delta v = 0.14$$

Счетные параметры:

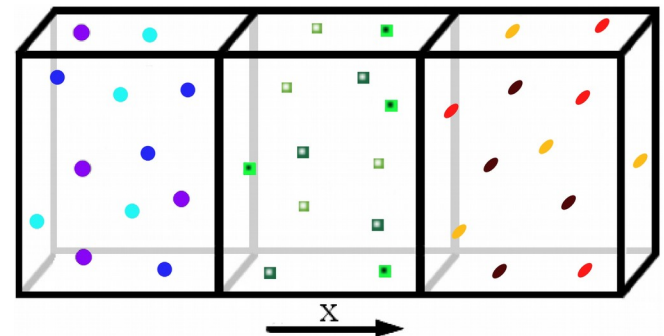
Длина области  $L = 1.2566, 1.1424$

Сетка по пространству  $100 \times 4 \times 4$

Временной шаг  $\tau = 0.001$

Число частиц в ячейке  $lp = 50 \dots 20000$

Число процессоров  $np = 16 \dots 256$



# Электроны пучка, фазовая плоскость

$$(x, v_x)$$

Гидродинамический режим

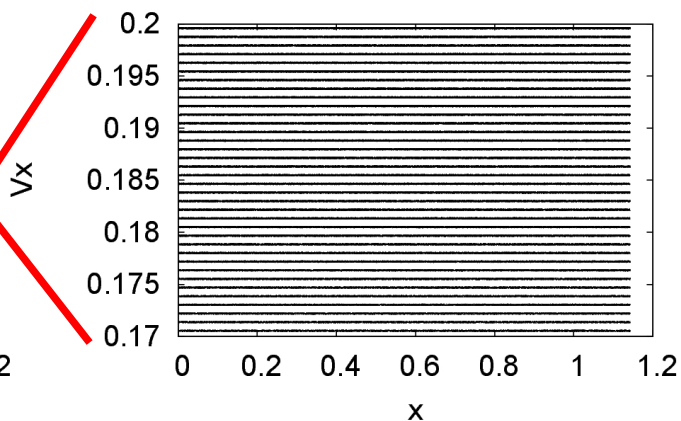
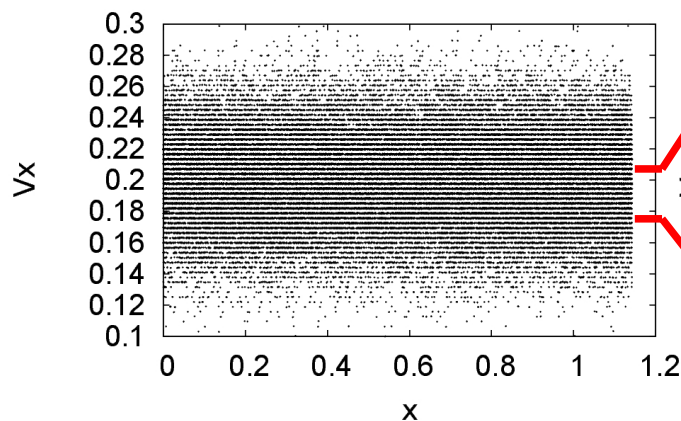
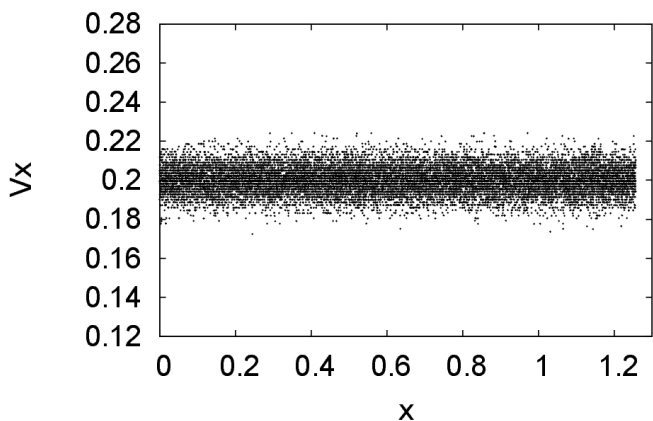
Переходный режим

Кинетический режим

time=0

time=0

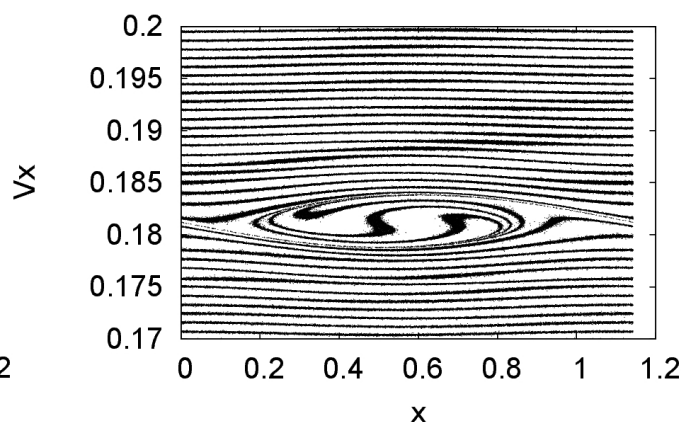
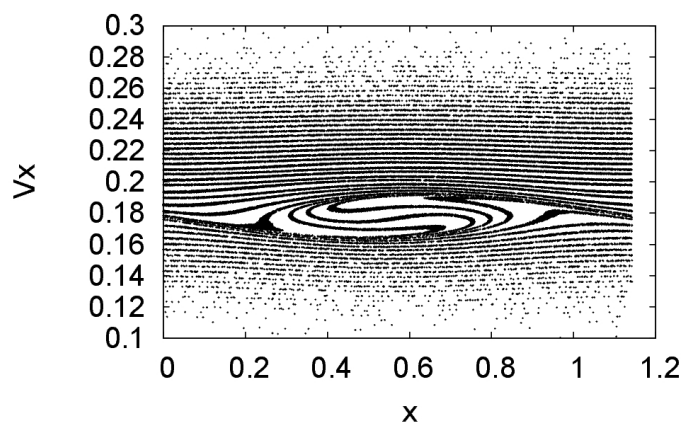
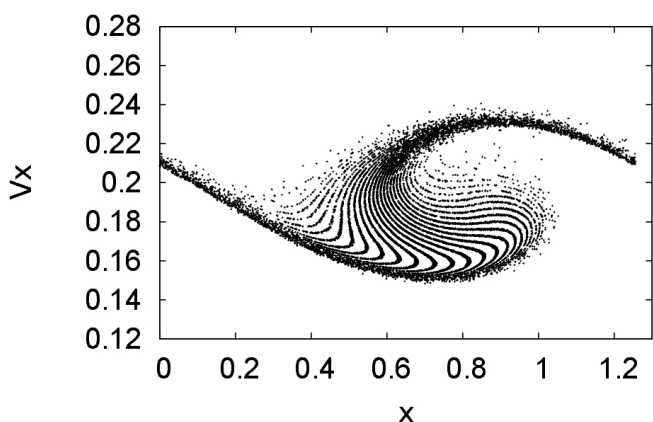
time=0



time=100

time=210

time=1500

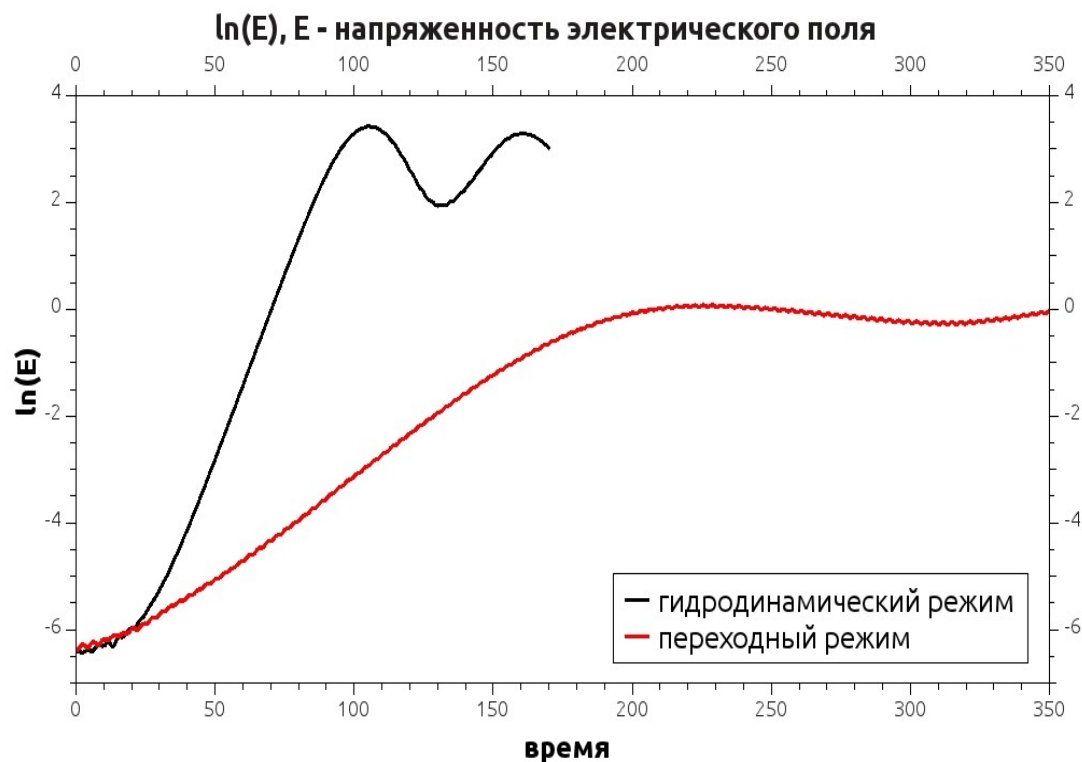


Электроны пучка в фазовой плоскости  $(x, v)$  для трех режимов развития неустойчивости:

- а) гидродинамический режим ( $\gamma = 0.0722$ ,  $l_p = 100$ ),
- б) переходный режим ( $\gamma = 0.0232$ ,  $l_p = 1000$ )
- в) кинетический режим ( $\gamma = 0.0027$ ,  $l_p = 5000$ )

# Точность и количество частиц в ячейке

Какого числа частиц в ячейке достаточно ?



1. По энергии электрического поля

$$\gamma_1 = \frac{1}{2} \frac{\partial \ln W}{\partial t}$$

2. По амплитуде напряженности главной волны электрического поля

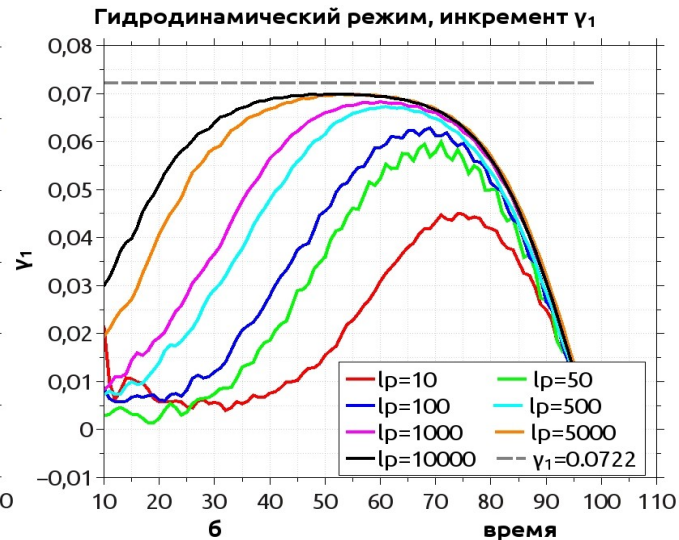
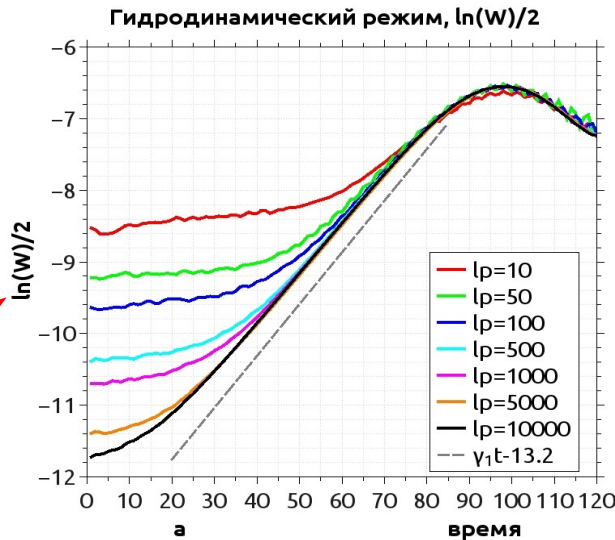
$$\gamma_2 = \frac{\partial \ln E_0}{\partial t}$$



# Гидродинамический режим, инкремент

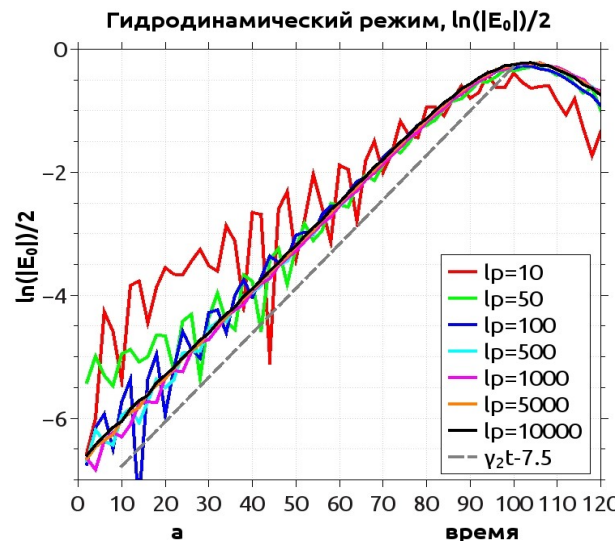
## 1. Производная от логарифма энергии электрического поля

саморазогрев



$$\gamma_1 = \frac{1}{2} \frac{\partial \ln W}{\partial t}$$

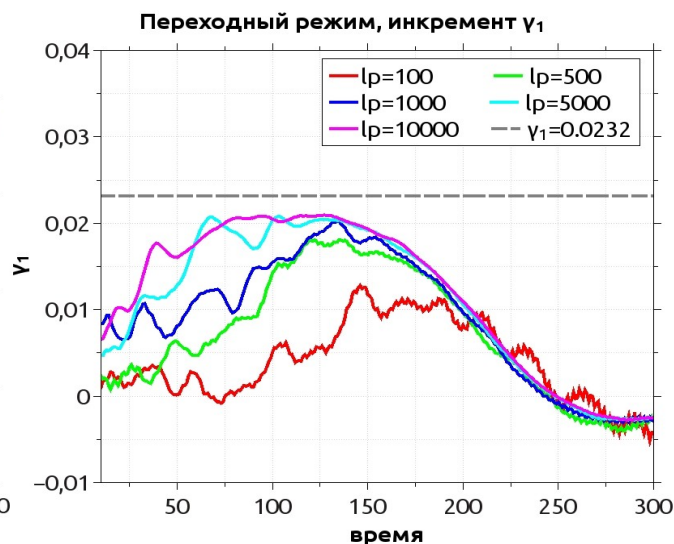
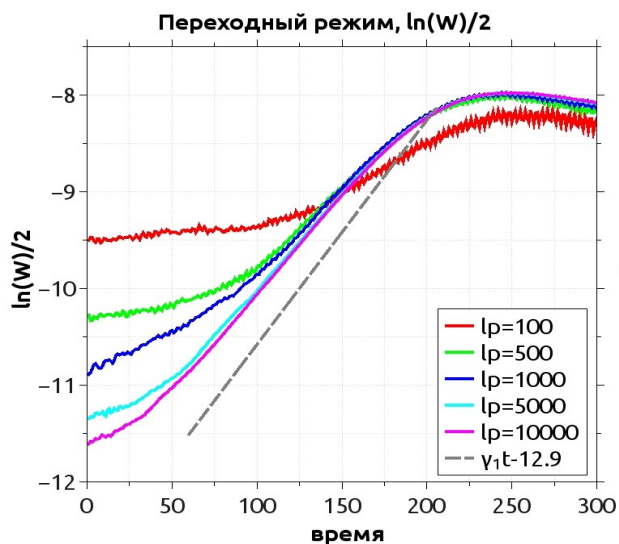
## 2. Производная логарифма амплитуды главной волны напряженности электрического поля



$$\gamma_2 = \frac{\partial \ln E_0}{\partial t}$$

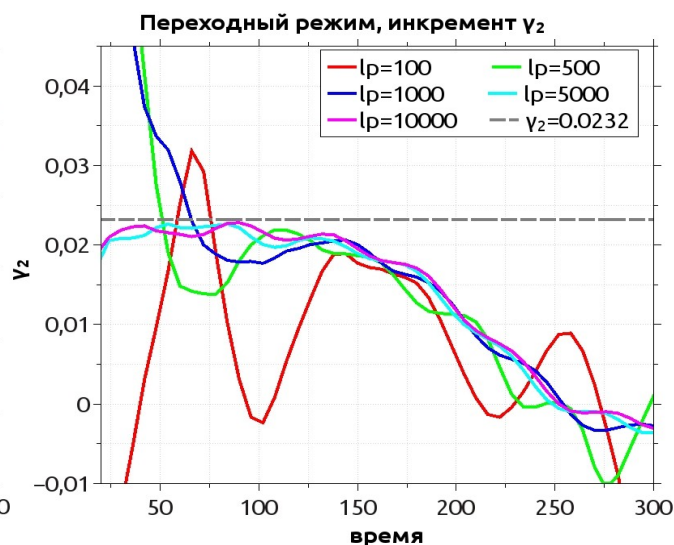
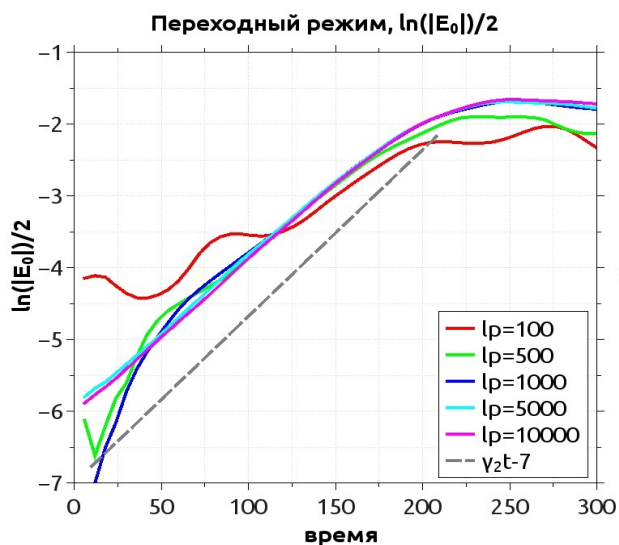
# Переходный режим, инкремент

## 1. Производная от логарифма энергии электрического поля



$$\gamma_1 = \frac{1}{2} \frac{\partial \ln W}{\partial t}$$

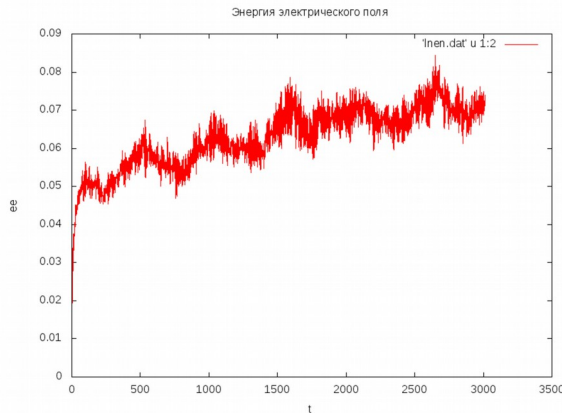
## 2. Производная логарифма амплитуды главной волны напряженности электрического поля



$$\gamma_2 = \frac{\partial \ln E_0}{\partial t}$$

# Кинетический режим, инкремент

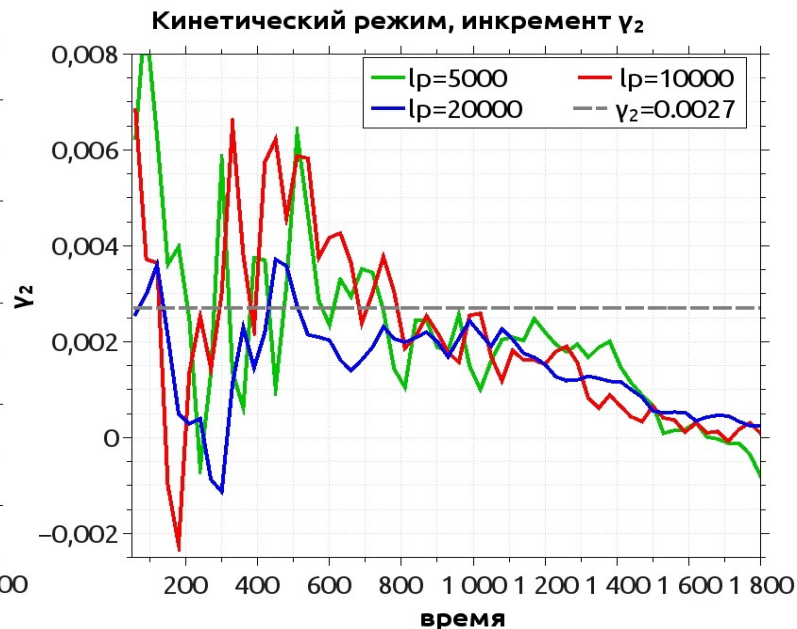
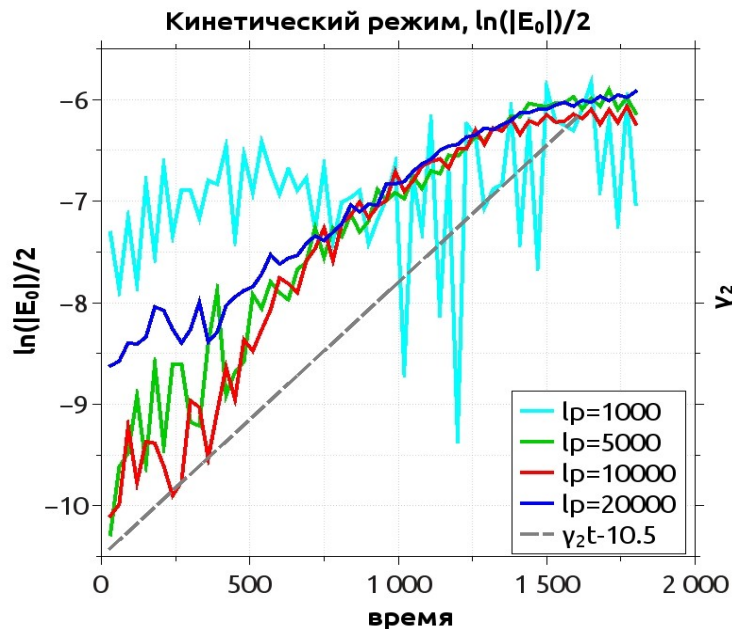
## 1. Производная от логарифма энергии электрического поля



В кинетическом режиме из-за шумов вычисление инкремента по энергии становится невозможным.

$$\gamma_1 = \frac{1}{2} \frac{\partial \ln W}{\partial t}$$

## 2. Производная логарифма амплитуды главной волны напряженности электрического поля



$$\gamma_2 = \frac{\partial \ln E_0}{\partial t}$$

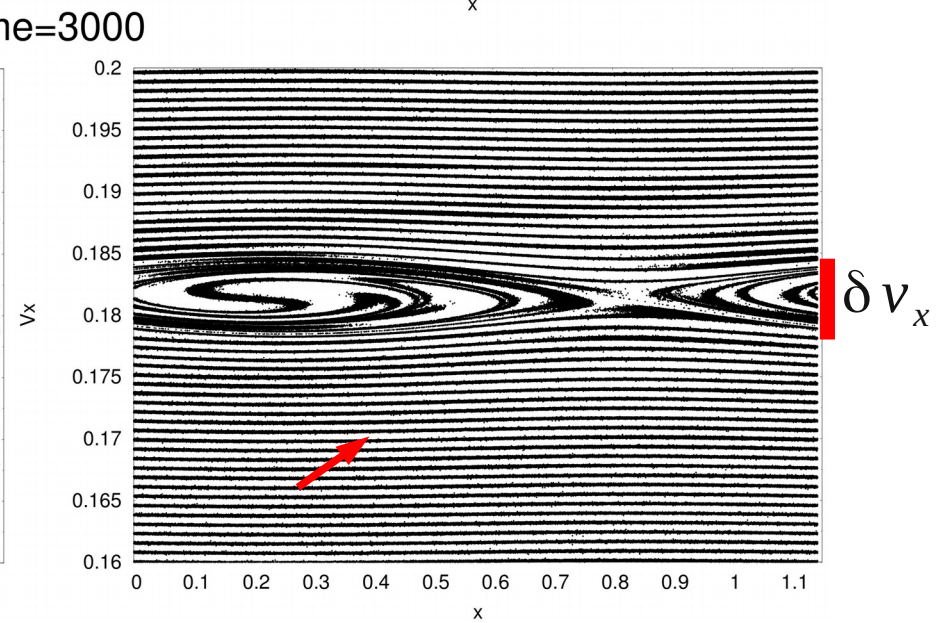
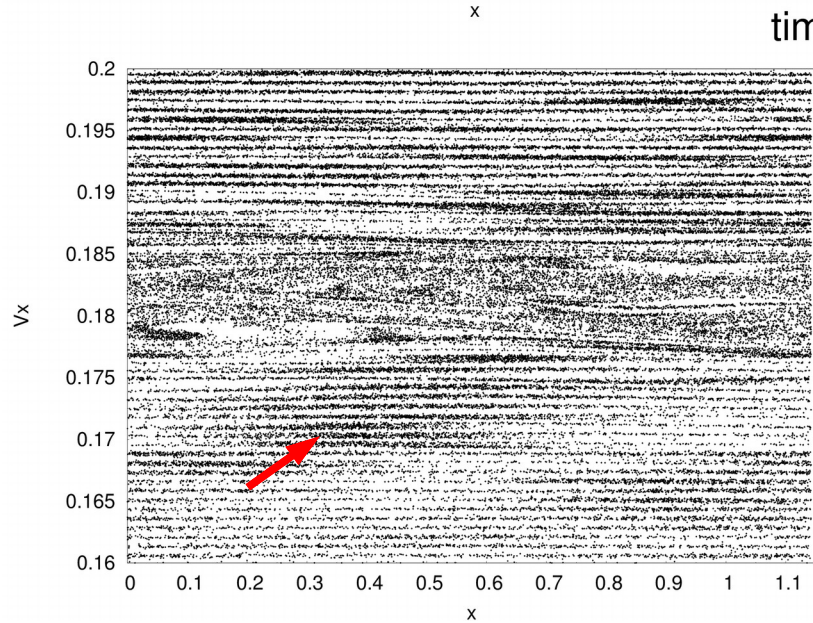
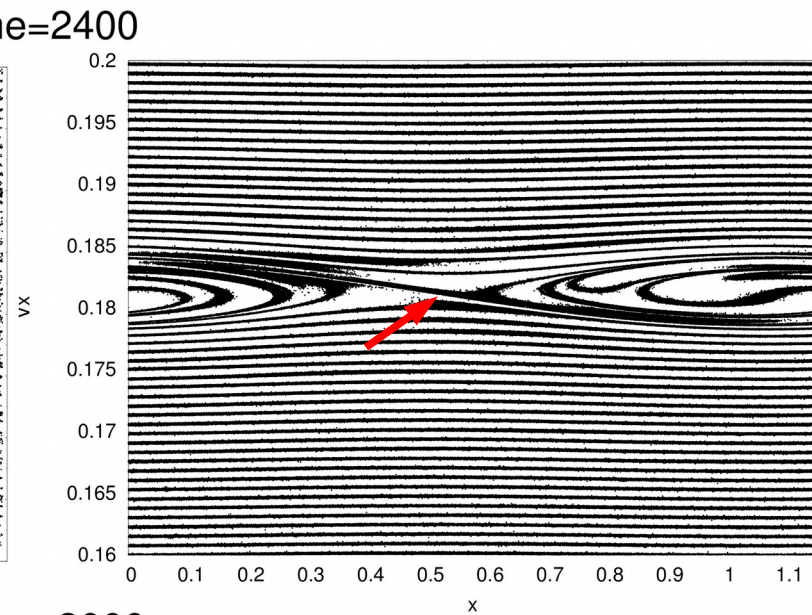
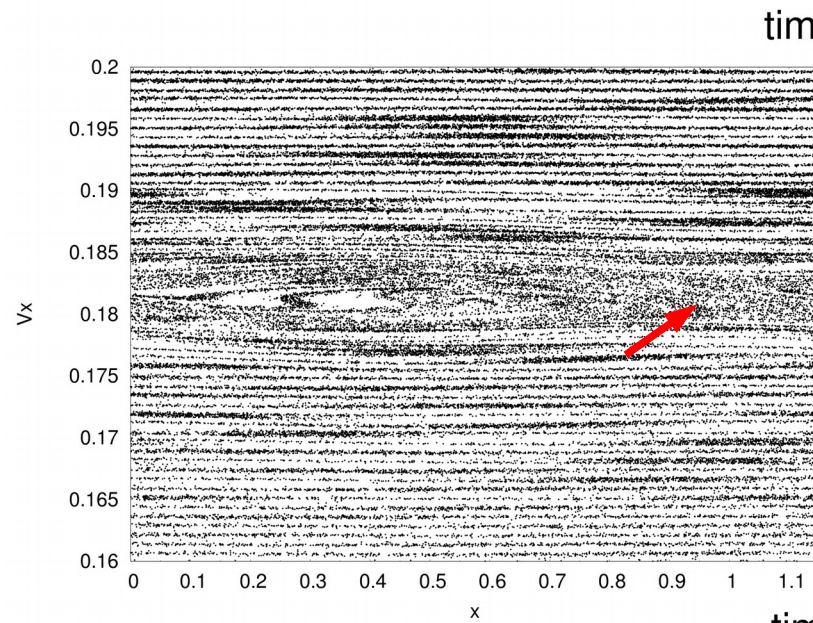
# Три режима, ошибка вычисления инкремента

$\gamma_1^0 = 0,0722$	$\Delta v = v_0 * 0.035 = 0,007$ $k = 2\pi/L,$ $L = 1.2566$	$\frac{\gamma}{k \Delta v} = 2,06 > 1$
$\gamma_2^0 = 0,0232$	$\Delta v = v_0 * 0.14 = 0,028$ $k = 2\pi/L,$ $L = 1.1424$	$\frac{\gamma}{k \Delta v} = 0,15 < 1$
$\gamma_3^0 = 0,0027$	$\Delta v = v_0 * 0.14 = 0,028$ $k = 2\pi/L,$ $L = 1.1424$	$\frac{\gamma}{k \Delta v} = 0,017 \ll 1$

*ошибка* (%) – относительная погрешность вычисления инкремента неустойчивой волны  
 $\gamma_i$  – численное значение инкремента,  $\gamma_i^0$  – аналитическое значение инкремента

<b>lp</b>	$\gamma_1 = \frac{\partial(\ln A_1)}{\partial t}$	<i>ошибка</i> (%)	$\gamma_2$	<i>ошибка</i> (%)	$\gamma_3$	<i>ошибка</i> (%)
<b>50</b>	0,056	6	0,017	27	-	-
<b>500</b>	0,07	3	0,02	14	-	-
<b>2500</b>	0,071	2	0,021	9	0,002	20
<b>5000</b>	0,071	2	0,022	5	0,002	20
<b>10000</b>	0,071	2	0,022	5	0,002	20

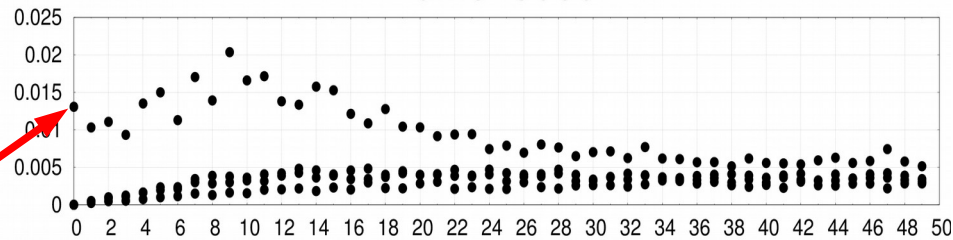
# Кинетический режим, $I_p=1000, 20000$



# Кинетический режим: $I_p=1000, 20000$

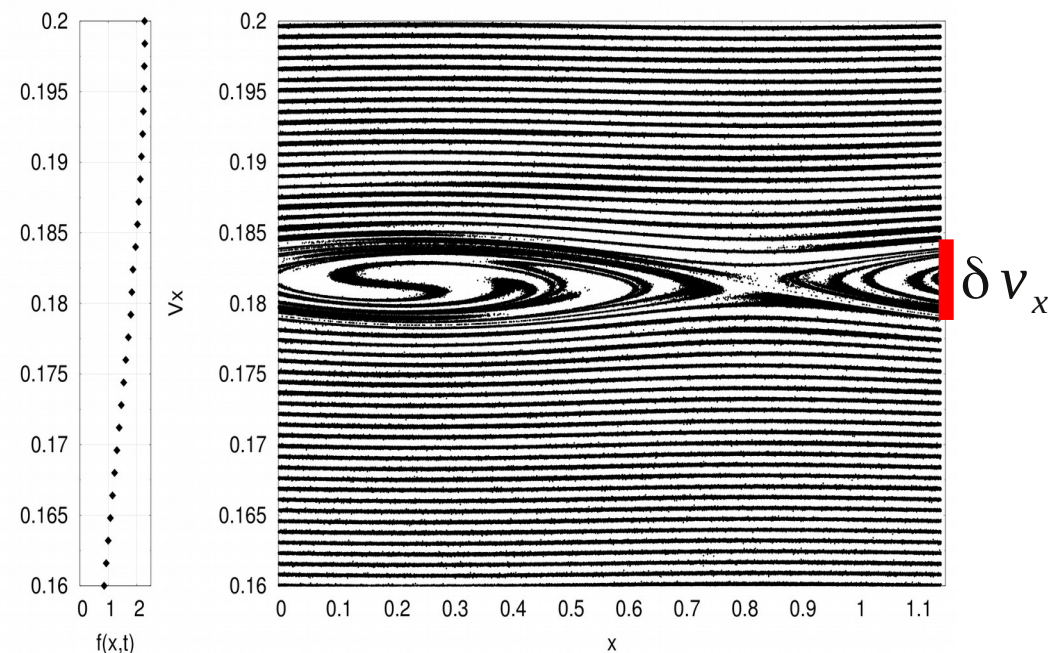
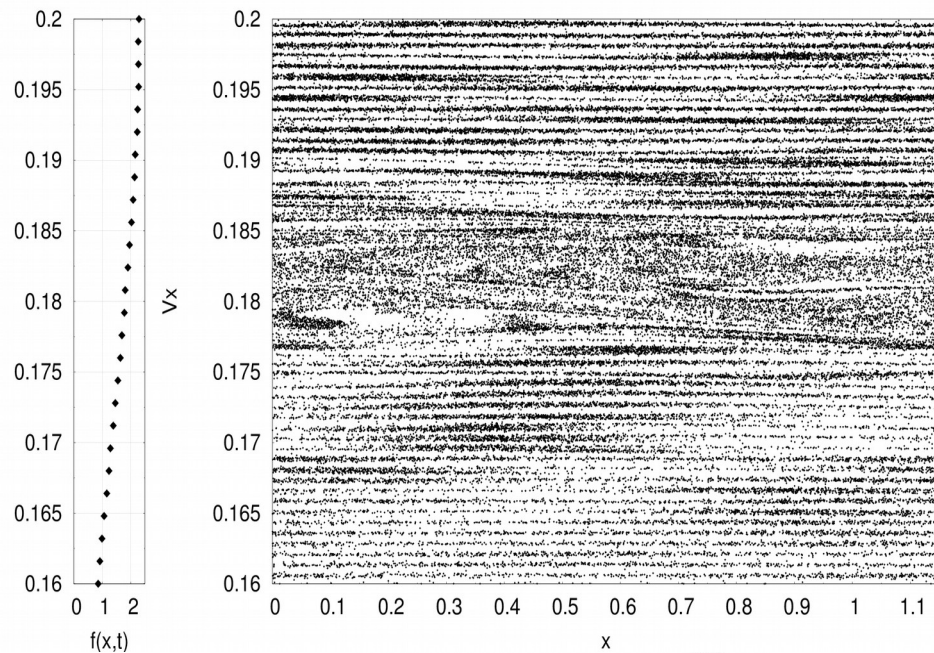
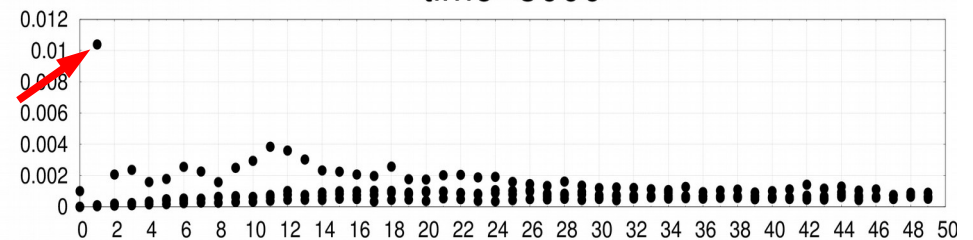
$I_p=1000$

time=3000



$I_p=20000$

time=3000



Для вычисления инкремента с точностью 25% необходимо иметь около  $2 \cdot 10^5$  модельных частиц пучка в интервале скоростей  $\delta v_x$ , в котором происходит взаимодействие пучка с неустойчивой волной.

# Достаточное число частиц

• (в терминах числа частиц в ячейке)

Как показала дополнительно проведенная серия расчетов с разной шириной области и разным шагом по пространству, для данной задачи достаточным можно считать число частиц пучка в волновом пакете, равное  $2 \cdot 10^5$ .

Ширина волнового пакета по  $y$  и  $z \sim k_s^{-1} = L/2\pi = 1.1424/2\pi \sim 0.18$

$$h = L/100$$

Получаем, что ширина волнового пакета по  $y$  и  $z = 16h$ .

Значит  $2 \cdot 10^5 / (n_x n_y n_z) = 2 \cdot 10^5 / (100 \cdot 16^2) \sim 10$  частиц в ячейке достаточно для корректного моделирования в случае, когда весь пучок вступает во взаимодействие с волной.

Если же неустойчивость развивается в кинетическом режиме, и только малая часть  $\epsilon = \text{полное число частиц пучка} / \text{число частиц в резонансе}$  электронов захватывается волной, то необходимое число частиц в ячейке  $l_p \sim 10/\epsilon$ .

# Направление дальнейшей работы

В настоящее время ведется разработка универсального пакета программ на GPU со встраиваемыми, в том числе и под данную задачу, модулями. Область моделирования реализуется в виде параметризованного класса (шаблона) языка C++. Его параметром является класс ячейка, один из методов которого реализует ядро метода частиц. Данный пакет позволит не только проводить расчеты быстрее, но и даст возможность локально заменять некоторые блоки, такие как форма ядра модельной частицы и расчет токов. Таким образом технология шаблонов даст возможность быстро производить замену формы ядра частицы, а использование ядер модельных частиц повышенной гладкости позволит получать более точный результат с меньшим количеством частиц.



**Спасибо за внимание**